

элементов авиационных конструкций. Межвузовский сборник. - Куйбышев: КуАИ, 1979, вып. 5, с.44-57.

3. Хазанов Х.С. К расчету цилиндрических оболочек с круглыми отверстиями. - В кн.: Вопросы прочности элементов авиационных конструкций. Труды Куйбышев. авиац. ин-та им.С.П.Королева. - Куйбышев: КуАИ, 1967, вып. 29, с.3-17.

4. Карякин В.Б. Исследование эффективности некоторых изопараметрических конечных элементов оболочки. - Куйбышев, 1980. - 32 с. - Рукопись представлена Куйбышев. авиац. ин-том им.С.П.Королева. Деп. в ВИНТИ 11 ноября 1980 г., № 4728-80 Деп.

5. Карякин В.Б., Хазанов Х.С. Расчет цилиндрической оболочки с вырезом, подкрепленным кольцом переменной жесткости. - Куйбышев, 1982. - 24 с. - Рукопись представлена Куйбышев. авиац. ин-том им. С.П.Королева. Деп. в ВИНТИ 22.04.82 г., № 1963-82 Деп.

6. Чехов В.Н. О распределении напряжений в цилиндрической оболочке с эллиптическим отверстием. - Прикл. механика, 1971, 7, № II, с.41-46.

УДК 539.3

Н.Н.Столяров, Р.Н.Додзина

ОБ ОДНОМ АЛГОРИТМЕ ИССЛЕДОВАНИЯ УСТОЙЧИВОСТИ ГИБКИХ ПАНЕЛЕЙ

В работе предлагается алгоритм исследования устойчивости и критического поведения гибких прямоугольных в плане панелей, находящихся под действием поперечной нагрузки. Алгоритм основан на комбинации методов конечных разностей, дифференцирования по параметру I и приеме использования в качестве параметра прослеживания равновесных состояний прогиба в центре. Предлагается эффективная процедура решения линеаризованной системы уравнений.

Для панелей с различными условиями закрепления кромок получены значения верхней - $P_{\text{в}}$ и нижней - $P_{\text{н}}$ критических нагрузок. Установлены значения параметра кривизны панели, при которых возникает явление хлопка. Исследовано влияние на критические нагрузки,

напряжения и прогибы числа разбиений сетки и величины шага по параметру прослеживания равновесных состояний. Полученные решения хорошо согласуются с известными в литературе результатами /2,3/. Разработанный алгоритм реализован в программе на языке ФОРТРАН для ЭВМ ВС-1022.

1. Основные зависимости. Рассмотрим прямоугольную в плане оболочку со сторонами $2a$, $2b$ и толщиной h , которая находится под действием поперечной нагрузки интенсивности p .

Введем обозначения: Φ - функция усилий, \bar{w} - прогиб, E - модуль упругости, ν - коэффициент Пуассона, $\bar{\sigma}_x$, $\bar{\sigma}_y$ - полные напряжения, \bar{K}_1 , \bar{K}_2 - кривизны оболочки.

Вводя безразмерные параметры

$$x = \frac{\bar{x}}{a}, \quad y = \frac{\bar{y}}{b}, \quad \lambda = \frac{b}{a}, \quad K_1 = \frac{4\bar{K}_1 a^2}{h}, \quad K_2 = \frac{4\bar{K}_2 b^2}{h},$$

$$\Phi = \frac{\bar{\Phi}}{Eh^3}, \quad p = \frac{16\bar{p}b^4}{Eh^4}, \quad \sigma_x = \frac{\bar{\sigma}_x b^2}{Eh^2}, \quad \sigma_y = \frac{\bar{\sigma}_y b^2}{Eh^2}, \quad w = \frac{\bar{w}}{h},$$

запишем исходную систему нелинейных дифференциальных уравнений в смешанном виде:

$$L_1(\Phi, K_1, K_2) - \lambda^2 w_{xy}^2 + \lambda^2 w_{xx} w_{yy} = 0,$$

$$L_2(w, K_1, K_2) - \lambda^2 w_{xx} \Phi_{yy} - \lambda^2 w_{yy} \Phi_{xx} + 2\lambda^2 w_{xy} \Phi_{xy} = \frac{p}{16},$$

$$L_1(\Phi, K_1, K_2) = \lambda^4 \Phi_{xxxx} + 2\lambda^2 \Phi_{xxyy} + \Phi_{yyyy} + 0,25\lambda^2 (K_1 w_{yy} + K_2 w_{xx}),$$

$$L_2(w, K_1, K_2) = \frac{1}{12(1-\nu^2)} (\lambda^4 w_{xxxx} + 2\lambda^2 w_{xxyy} + w_{yyyy}) - 0,25\lambda^2 (K_1 \Phi_{yy} + K_2 \Phi_{xx}). \quad (I)$$

Система (I) дополняется граничными условиями шарнирного опирания или защемления кромок оболочки.

2. Метод решения нелинейной задачи. В качестве основного параметра нелинейной системы t брался прогиб в центре $t \equiv w_0$ или интенсивность поперечной нагрузки $t \equiv p$. Продифференцировав (I) и граничные условия по параметру t при $t \equiv w_0$, получим

$$L_1(\dot{\Phi}, K_1, K_2) - 2\lambda^2 w_{i,xy} \dot{w}_{xy} + \lambda^2 (w_{i,xx} \dot{w}_{yy} + w_{i,yy} \dot{w}_{xx}) = 0,$$

$$L_2(\dot{w}, K_1, K_2) - \lambda^2 (w_{i,xx} \dot{\Phi}_{yy} + \Phi_{i,yy} \dot{w}_{xx} + w_{i,yy} \dot{\Phi}_{xx} + \Phi_{i,xx} \dot{w}_{yy} - 2w_{i,xy} \dot{\Phi}_{xy} - 2\Phi_{i,xy} \dot{w}_{xy}) = \frac{\dot{p}}{16},$$

$$w_i = \sum_{s=0}^i \Delta w_s, \quad \phi_i = \sum_{s=0}^i \Delta \phi_s, \quad (2)$$

где w_i, ϕ_i - накопленные за i этапов нагружения функции прогибов и напряжений; $\Delta w_s, \Delta \phi_s$ - приращения функций на этапе с номером s ; $\dot{w}, \dot{\phi}$ - производные по параметру t .

Заменяя в (2) и в продифференцированных граничных условиях производные по пространственным переменным x, y разностными приближениями, получим систему линейных уравнений. Эту систему можно исключить неизвестных в контурных и законтурных точках запишем в операторном виде

$$L_h \dot{\bar{u}} = \bar{f}_h, \quad (3)$$

где $\dot{\bar{u}} \equiv (\dot{\phi}_i, \dot{w}_i)$ - вектор "скоростей" размерности $2N_h$, (N_h - число внутриконтурных узлов сетки), $L_h = L_{1h} + L_{2h}$; L_{1h} - квадратная матрица размерности $2N_h$; L_{2h} - разностный аналог членов системы (2), содержащих переменные коэффициенты; \bar{f}_h - известный вектор.

Вследствие эволюционного характера системы (3) необходимо задание начальных условий

$$\bar{u} \Big|_{t=0} = \bar{u}_0. \quad (4)$$

По известному в момент "времени" t_0 вектору \bar{u} вычисляем коэффициенты системы (3), решая которую, находим вектор "скоростей" $\dot{\bar{u}}$. Система (3) и начальные условия (4) определяют задачу Коши, для решения которой используем шаговый процесс

$$\bar{u}_{s+1} = \bar{u}_s + \Pi(\bar{u}_s) \Delta t, \quad \dot{\bar{u}}_s = \Pi(\bar{u}_s), \quad s = \overline{1, n}, \quad (5)$$

где S - номер шага, Δt - приращение основного параметра.

Эффективность алгоритма в значительной степени зависит от метода решения линеаризованной системы уравнений (3). Предлагаемый здесь метод решения (3) имеет вид

$$L_{1h} \frac{\dot{\bar{u}}_k^{(k+1)} - \dot{\bar{u}}_k^{(k)}}{\gamma} = -(L_{1h} \dot{\bar{u}}_k^{(k)} - \bar{f}_k), \quad (6)$$

где $\gamma > 0$ - итерационный параметр. Сходимость процесса итераций (6) определяется выбором L_{1h} . Здесь L_{1h} в (6) выбирается так,

что при $L_{2h} = 0$, $L_{1h} \equiv L_h$.

Из (6) имеем

$$\dot{\bar{u}}_h^{(k+1)} = \dot{\bar{u}}_h^{(k)} - \gamma L_{1h}^{-1} (L_h \dot{\bar{u}}_h^{(k)} - \bar{f}_h), \quad (7)$$

и легко заметить, что в случае $L_{2h} \equiv 0$ и $\gamma = 1$ решение (3) находится за одну итерацию. При решении геометрически нелинейной задачи операторы L_{1h} и L_h также "близки", что обеспечивает высокую эффективность метода.

Алгоритм реализации метода (6) следующий:

1. Вычисляется обратная матрица L_{1h}^{-1} .
2. По известным \bar{u}_h и "скоростям" $\dot{\bar{u}}_h$ находится $\bar{g} = \gamma (L_h \dot{\bar{u}}_h^{(k)} - \bar{f}_h)$.
3. Используя (7), определяем $\dot{\bar{u}}_h^{(k+1)}$.
4. После решения системы (3), используя (5), находим \bar{u}_{s+1} , и затем пункты 2,3,4 повторяются для следующего шага по основному параметру.

В программе предусмотрена процедура выбора параметра γ , а его первоначальное значение обычно принималось $\gamma = 0,8 + I$. При $\gamma = 1$ предлагаемый метод можно рассматривать как одну из модификаций метода Ньютона, в которой матрица L_{1h} не меняется ни в процессе итераций решения (3), ни при смене шага по t .

3. Р е з у л ь т а т ы в ы ч и с л е н и й. Примеры расчета даются для квадратных панелей и пластин, находящихся под действием равномерно распределенной нагрузки. На рис. 1 для шарнирно опертых, а на рис. 2 для защемленных панелей различной кривизны приведены зависимости интенсивности нагрузки от прогиба в центре. Установлено, что явление хлопка наступает для шарнирно опертых панелей при кривизнах $K_2 \geq 40$, а для защемленных - $K_2 \geq 60$.

В таблице I приведены значения верхних критических нагрузок и соответствующие прогибы в центре для шарнирно опертых панелей - строка 1 и защемленных - строка 2. Результаты получены на сетке 12×12 при $\Delta t = 0,03125$.

Для шарнирно опертой панели $\lambda = 1$, $K_1 = 0$, $K_2 = 40$ значение нижней критической нагрузки $P_H = 69,0$; при этом прогиб в центре $w_0 = 3,62$.

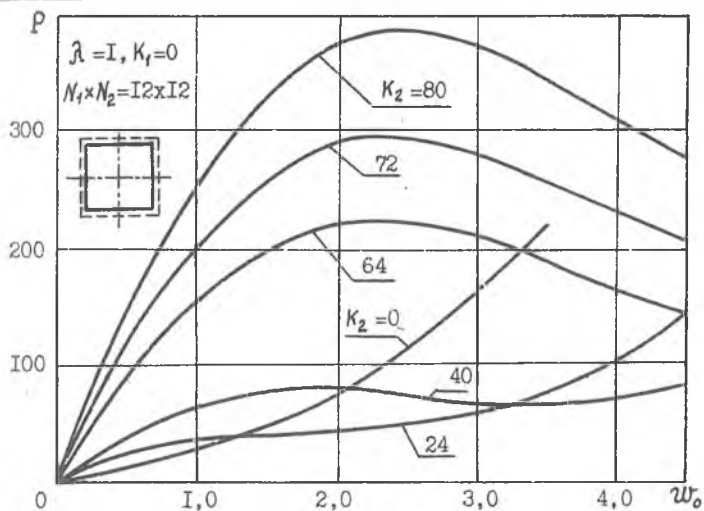


Рис. I

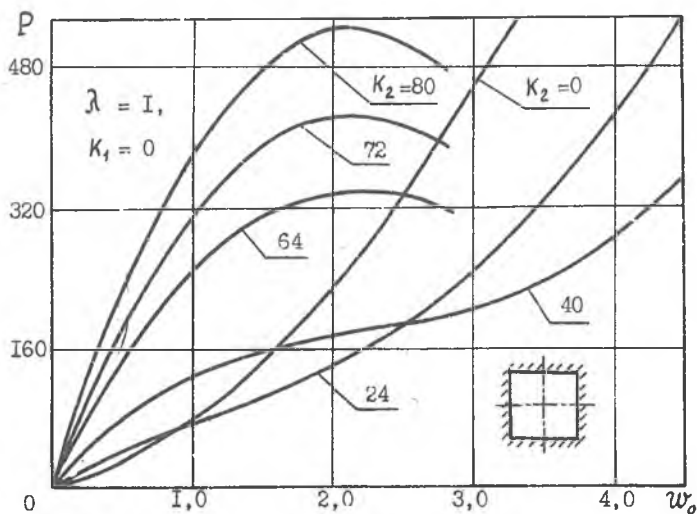


Рис. 2

Таблица 1

	K_2	40	64	72	80
1	P_B	80,0	219,6	292,1	380,5
	w_0	1,92	2,25	2,34	2,44
2	P_B		333,6	420,8	525,3
	w_0		2,10	2,09	2,09

В таблице 2 даны результаты исследования влияния на P_B и P_H числа разбиений сетки, расчеты проведены на сетках 8 x 8, 10 x 10, 12 x 12 для шарнирно опертых панелей.

Таблица 2

$N_1 \times N_2 \backslash K_2$	40				64		72	
	P_B	w_0	P_H	w_0	P_B	w_0	P_B	w_0
8 x 8	80,8	1,88	69,2	3,62	225,7	2,16	302,4	2,25
10 x 10	80,2	1,91	69,1	3,69	221,5	2,22	295,4	2,34
12 x 12	80,0	1,92	69,0	3,62	219,6	2,25	292,1	2,34

Величина шага по параметру прослеживания равновесных состояний Δt определялась путем расчета одного и того же варианта для различных Δt . Этот расчет позволяет определить значение Δt такое, что дальнейшее измельчение Δt не приводит к изменению результатов в пределах заданной точности. В таблице 3 приведены значения верхней критической нагрузки, полученные на сетке 8 x 8 для шарнирно опертой панели $\lambda = 1$, $K_1 = 0$, $K_2 = 40$ при различных шагах. Здесь в столбце 5 приведены результаты работы /2/, полученные методом конечных разностей с использованием метода общей итерации /4/, а в столбце 6 - статьи /3/, где нелинейная задача решалась методом Бубнова-Галеркина.

Итерационный процесс решения системы (3) заканчивался при выполнении условия

$$\|z^{(k)}\| < \varepsilon, \quad \text{где} \quad \|z^{(k)}\| = \sqrt{h_1 h_2 \sum_{i \in N_h} (L_h \ddot{u} - \bar{f}_h)_i^2},$$

h_1, h_2 - шаги сетки. При вычислениях бралось $\varepsilon = 0,01$ и $\varepsilon = 0,001$. Сравнение решений при этих двух значениях показало, что напряжения и прогибы с точностью пяти значащих цифр совпадают.

Таблица 3

N	1	2	3	4	5	6
Δt	0,125	0,0625	0,03125	0,01562		
P_B	84,9	82,1	80,8	80,1	79,2	79,1
ω_0	1,875	1,875	1,875	1,875	2,0	2,0

Машинное время, затрачиваемое на расчет одного шага при $\Delta t = 0,03125$ на сетке 12×12 , составляет не более 15 секунд, а для вычисления P_B в каждом из вариантов потребовалось около 13 мин.

Л и т е р а т у р а

1. Давиденко Д.Ф. Об одном новом методе численного решения систем нелинейных уравнений. - ДАН СССР, т.88, 1953, вып.4.
2. Столяров Н.Н. Большие прогибы пологой оболочки со свободно смещающимися краями при смешанных граничных условиях. - Волжский математический сборник, вып.8, Куйбышев, 1971.
3. Столяров Н.Н., Дедов Н.И. Численная реализация метода Губонова-Галеркина на ЭВМ при решении нелинейных задач теории пологих оболочек. Исследования по теории пластин и оболочек. Сб. IX.- Казань, Казанский университет, 1972.
4. Корнишин М.С. Нелинейные задачи теории пластин и пологих оболочек и методы их решения. - М.: Наука, 1964.